

Conteo Aproximado

El Problema Fundamental de Conteo

Pregunta

Dado un conjunto S definido por propiedades combinatorias complejas, ¿cuál es su cardinalidad, $|S|$?

Ejemplos de Problemas de Conteo Difíciles (#P-hard)

- ¿Cuántas configuraciones “hard-core” factibles existen en un grafo?
- ¿Cuántas q -coloraciones válidas existen para un grafo G ?
- ¿De cuántas maneras se puede embaldosar un tablero de ajedrez con dominós?

El Problema Fundamental de Conteo

Dificultad

La enumeración exhaustiva es computacionalmente inviable. Por ejemplo, en el problema de las q -coloraciones, para $q = 5$ colores y $k = 50$ vértices, hay $5^{50} \approx 10^{34}$ configuraciones totales que revisar.

Tipos de Algoritmos de Aproximación

Esquema de Aproximación en Tiempo Polinomial (PTAS)

Un algoritmo que, para cualquier $\epsilon > 0$, encuentra una respuesta entre $(1 - \epsilon)N$ y $(1 + \epsilon)N$ (donde N es la respuesta real) en un tiempo polinomial en el tamaño del problema k .

Esquema Aleatorizado de Aproximación en Tiempo Polinomial (FPRAS)

Un **FPRAS** (Fully Polynomial Randomized Approximation Scheme) es un algoritmo que:

1. Con alta probabilidad (e.g., $\geq 3/4$), da una respuesta en el rango $[(1 - \epsilon)N, (1 + \epsilon)N]$.
2. Dado $\epsilon > 0$, su tiempo de ejecución es polinomial en el tamaño del problema k .

Idea 1: Conteo con Muestreo de Monte Carlo

Un Algoritmo Ingenuo

Para contar el número de q -colorings válidos, $Z_{G,q}$:

1. Consideremos el espacio de todas las q^k configuraciones posibles (válidas o no).
2. La probabilidad de que una configuración elegida al azar sea un q -coloring válido es $p = \frac{Z_{G,q}}{q^k}$.
3. Podemos estimar p generando n configuraciones al azar y contando la proporción \hat{p} que son válidas.
4. Nuestra estimación de $Z_{G,q}$ sería $\hat{Z}_{G,q} = \hat{p} \cdot q^k$.

Idea 1: Conteo con Muestreo de Monte Carlo

¿Cuál es el problema con esta idea?

La probabilidad p es **exponencialmente pequeña**.

Para un grafo con k vértices, se puede mostrar que

$$p \leq \left(\frac{q-1}{q} \right)^{k-1}.$$

Para obtener una estimación precisa, necesitaríamos un número de muestras n exponencialmente grande, lo que hace que el método sea inútil.

Anotaciones

k vértices y q colores

$$Z_{G,q} \leq q^{(q-1)(q-1)\dots(q-1)} = q^{(q-1)^{k-1}}$$

$$\{\gamma_i\}_{i=1}^q$$

menor id de configuración
(no necesariamente q -coloraciones) al
atav

P (en $\{\gamma_i\}_{i=1}^n$, haya al menos una f -coloración)

Anotaciones

$$\leq \sum_{i=1}^n P(Y_i \text{ sea una } f\text{-contracción})$$

$$\leq \sum_{i=1}^n \frac{2g, q}{q^k} \leq \sum_{i=1}^n \frac{g^{(q-1)^{k-1}}}{q^k}$$

$$= n \left(\frac{q-1}{q} \right)^{k-1}$$

Si queremos que

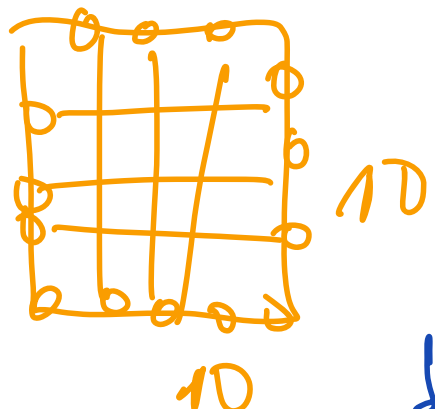
$$\frac{1}{2} < P(\text{en } \{Y_i\}_{i=1}^n, \text{ haya al menos una } f\text{-contracción})$$

Anotaciones

$$\Rightarrow \frac{1}{2} \leq n \left(\frac{q-1}{q} \right)^{k-1}$$

$$\frac{1}{2} \left(\frac{q}{q-1} \right)^{k-1} \leq n$$

Ejemplo:



$$1 \times 10^{17} \approx \frac{1}{2} \left(\frac{3}{2} \right)^{99} \leq n$$

Idea 2: La Solución MCMC (Producto Telescópico)

Descripción General del Algoritmo

La idea clave es no estimar $Z_{G,q}$ directamente, sino descomponerlo en un producto de ratios más fáciles de estimar.

1. Se construye una secuencia de grafos $G_0, G_1, \dots, G_l = G$ añadiendo una arista a la vez. G_0 es el grafo sin aristas.
2. Sea Z_i el número de q -colorings válidos para el grafo G_i .
3. Escribimos $Z_{G,q} = Z_l$ como un producto telescopico:

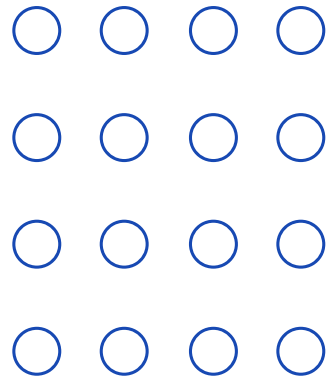
$$Z_l = \frac{Z_l}{Z_{l-1}} \cdot \frac{Z_{l-1}}{Z_{l-2}} \cdots \frac{Z_1}{Z_0} \cdot Z_0 \xrightarrow{q^k}$$

$\mathcal{I}_{G,q}$: dist uniforme

4. Sabemos que $Z_0 = q^k$ (sin aristas, cualquier coloreado es válido).
5. Cada ratio $\frac{Z_i}{Z_{i-1}}$ se puede interpretar como la probabilidad de que un coloreado válido para G_{i-1} también sea válido para G_i .

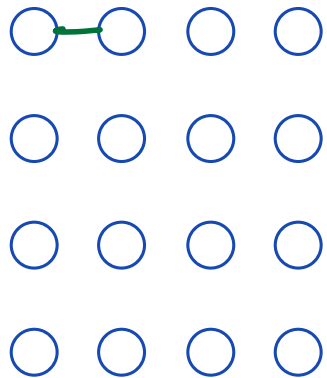
$$\frac{Z_i}{Z_{i-1}} = P_{\rho_{G_{i-1},q}}(\text{un coloreado es válido para } G_i)$$

Anotaciones

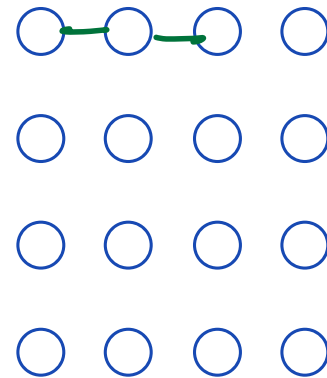


G_0

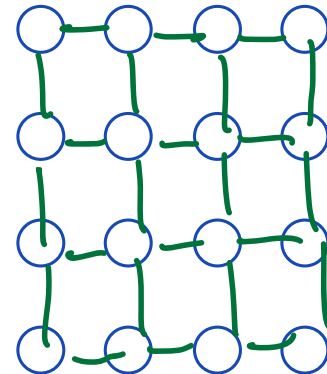
;



G_1



G_2



G_{24}

El Algoritmo en la Práctica

1. Para cada $i = 1, \dots, l$:

- Queremos estimar el ratio $r_i = \frac{Z_i}{Z_{i-1}}$.
- Usamos un algoritmo MCMC (como el Muestreador de Gibbs con barrido sistemático) para generar muchas muestras $\{X_n^{(i-1)}\}$ de la distribución uniforme de colorings válidos para G_{i-1} .
- Estimamos r_i con el promedio:

$$\hat{r}_i = \frac{1}{N} \sum_{n=1}^N \mathbb{I}_{\{X_n^{(i-1)} \text{ es válido para } G_i\}}.$$

2. La estimación final es $\hat{Z}_{G,q} = (\hat{r}_l \cdot \hat{r}_{l-1} \cdots \hat{r}_1) \cdot \underbrace{q^k}_{r_0}$.

Estimando los Ratios con MCMC

¿Por qué funciona esto?

La condición clave ($q > 2d^2$) asegura dos cosas:

- 1. Convergencia rápida de MCMC:** Podemos generar muestras de $\rho_{G_{i-1}, q}$ en tiempo polinomial.
- 2. Los ratios no son demasiado pequeños:** La probabilidad $\frac{Z_i}{Z_{i-1}}$ no es exponencialmente pequeña, por lo que podemos estimarla con un número polinomial de muestras.

Idea 2: La Solución MCMC (Producto Telescópico)

Teorema 9.1

Para contar q -colorings en grafos con grado máximo d , si $q > 2d^2$, existe un FPRAS.

Anotaciones

Primera Parte de la demostración:

$G = (V, E)$ donde

$$V = \{v_1, v_2, \dots, v_k\} \quad E = \{e_1, \dots, e_\ell\}$$

Construir los grafos \rightarrow esté fijo

$$G_i := (V, E_i) \quad i = 0, 1, 2, \dots, l$$

dónde

$$E_i = \{e_1, \dots, e_i\} \quad E_0 = \emptyset$$

usaremos las notaciones

$$z_i := z_{G_i, q} \quad i = 0, \dots, l$$

Anotaciones

$$e_i := \{x_i, y_i\}$$



$$i = 0, \dots, l$$

finalmente

$$z_{G,g} = \frac{z_l}{z_{l-1}} \cdot \frac{z_{l-1}}{z_{l-2}} \cdots \cdot \frac{z_1}{z_0} \cdot z_0$$

además

$$z_0 = g^k.$$

Anotaciones

Recordemos que

$f_{G,q}$: Probabilidad uniforme sobre q coloraciones de G ;

y observemos que

$$f_{G_{i-1},q} \left(\{ \zeta \in \{1, \dots, q\}^V : \zeta(x_i) \neq \zeta(y_i) \} \right) = \frac{z_i}{z_{i-1}}$$

Color en el vértice x_i
↑
Color en el vértice y_i

Luego, por la Ley de los grandes números

$$\{ X_n^{(i)} \}_{n \geq 0} \text{ iid } \sim f_{G_{i-1},q}$$

Anotaciones

$$W_n^{(i)} = \frac{1}{n} \sum_{j=1}^n \mathbb{1}_{\{\text{q-coloración de } g_i\}}(x_j^{(i)}) \xrightarrow{n \rightarrow \infty} \frac{z_i}{z_{i-1}}$$

La idea es usar el
muestreador sistemático de Gibbs

Para simular

$$\frac{1}{n} \sum_{j=1}^n y_j \rightarrow E[Y]$$
$$y_j = \mathbb{1}_{\{\text{q-coloración de } g_i\}}(x_j^{(i)})$$

$$(x_1^{(i)}, x_2^{(i)}, \dots, x_n^{(i)})$$

las muestras

aproximar

$$\frac{z_i}{z_{i-1}}$$

y finalmente aproximar

$$\frac{z_{6,9}}{(con el producto)}$$

Anotaciones

Lema 1: dado $\epsilon \in (0, 1)$, sea $l \in \mathbb{N}$ y a_1, \dots, a_l y b_1, \dots, b_l números positivos tales que

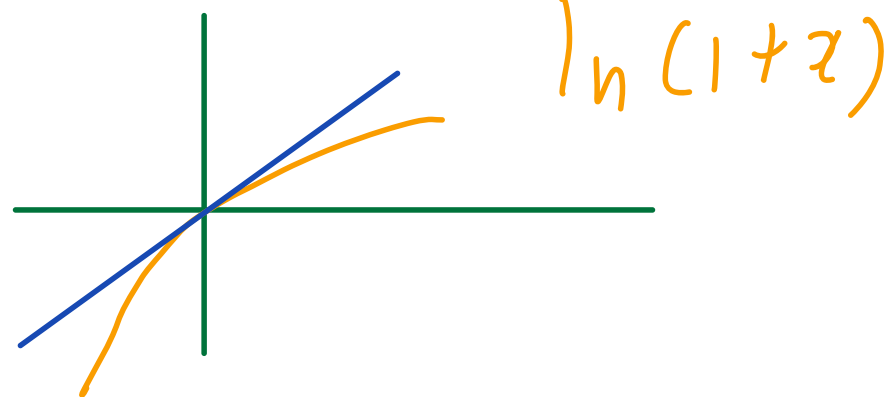
$$\left(1 - \frac{\epsilon}{2l}\right) \leq \frac{a_j}{b_j} \leq \left(1 + \frac{\epsilon}{2l}\right)$$

Luego

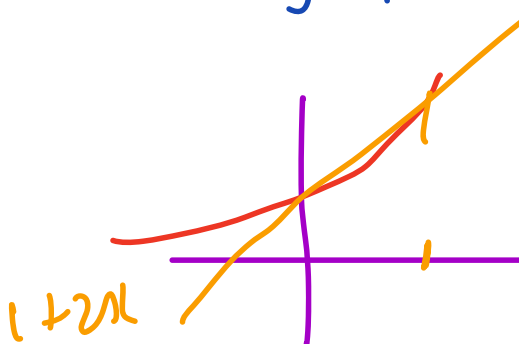
$$1 - \epsilon \leq \prod_{j=1}^l \frac{a_j}{b_j} \leq 1 + \epsilon$$

Anotaciones

$$\text{i)} \quad \frac{a_j}{b_j} \leq \left(1 + \frac{\epsilon}{z_1}\right) \Rightarrow \ln\left(\frac{a_j}{b_j}\right) \leq \ln\left(1 + \frac{\epsilon}{z_1}\right) \leq \frac{\epsilon}{z_1}$$



$$\rightarrow \sum_{j=1}^l \ln\left(\frac{a_j}{b_j}\right) \leq \frac{\epsilon l}{z_1} \Rightarrow \prod_{j=1}^l \frac{a_j}{b_j} \leq e^{\frac{\epsilon l}{z_1}} \leq 1+\epsilon$$



$$e^x \leq 1+zx \quad 0 \leq x \leq 1$$

Anotaciones

ii) $1 - \frac{\epsilon}{2l} \leq \frac{a_j}{b_j} \Rightarrow \left(1 - \frac{\epsilon}{2l}\right)^l \leq \prod_{j=1}^l \frac{a_j}{b_j}$

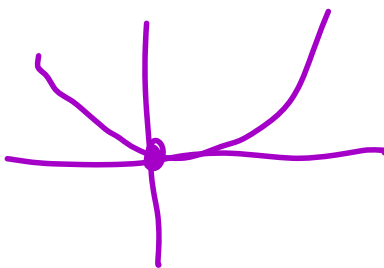
$$\Rightarrow 1 - \frac{\epsilon}{2l} \leq 1 - l\left(\frac{\epsilon}{2l}\right) + \sum_{j=2}^l \binom{l}{j} (-1)^{l-j} \left(\frac{\epsilon}{2l}\right)^j = \left(1 - \frac{\epsilon}{2l}\right)^l$$

$$f(x) = (1-x)^l - (1-lx) \geq 0$$

$$f'(x) = -l(1-x)^{l-1} + l$$

$$f''(x) = l(l-1)(1-x)^{l-2} > 0 \quad x \in \underline{(0,1)}$$

$$\Rightarrow f(0) = 0, \quad f'(0) = 0$$



✓✓

Anotaciones

Lema 2: $d \geq 2$, $q \geq 2d^2$. $x, y \in V$ $x \neq y$

Entonces

$$P_{G,q}(\xi(x) \neq \xi(y)) \geq \frac{1}{2}$$

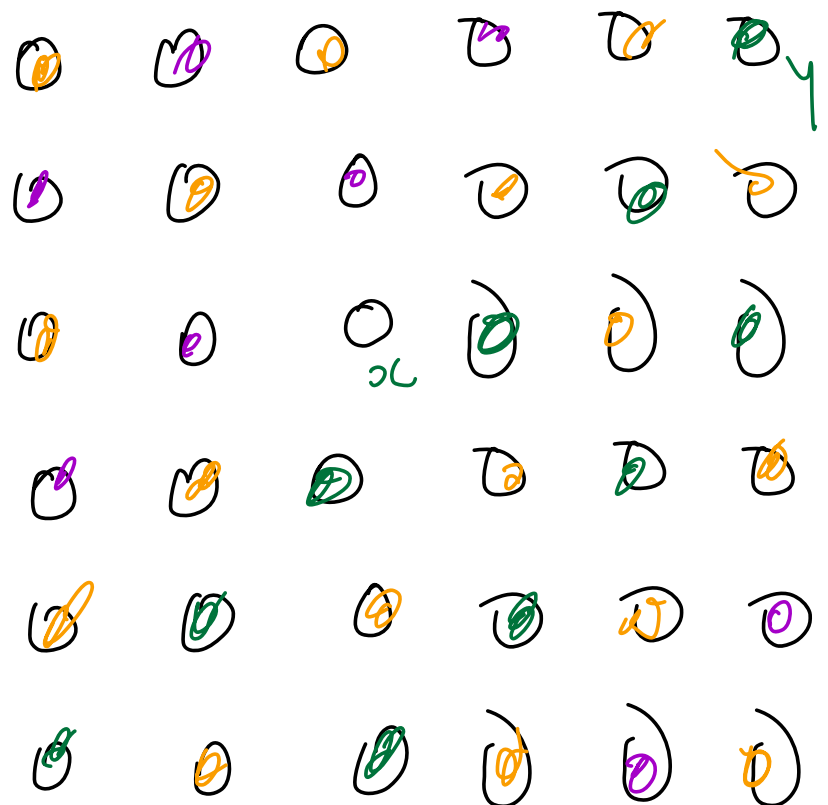
fijemos $x, y \in V$, $x \neq y$ color en x

color en y

$$f_{\xi, q}(\xi(x) = \xi(y)) = \sum_{\eta: q\text{-coloración}} f_{\xi, q}(\xi(x) = \xi(y), \xi(z) = \eta(z) \wedge z \neq x)$$

$$= \sum_{\eta: q\text{-coloración}} f_{\xi, q}(\xi(x) = \xi(y) \mid \xi(z) = \eta(z), z \neq x) f_{\xi, q}(\xi(z) = \eta(z), z \neq x)$$

$$\rho_{G,q} \left(\{ \beta \in \{1, \dots, q\}^V : \beta(x) \neq \beta(y) \} \right) \geq \frac{1}{2}$$



}
 7-coloracion

Anotaciones

$$\leq \frac{1}{q-d} \sum_{\eta: q\text{-coloración}} f_{\xi, \eta} (\xi(z) = \eta(t), z \neq t)$$

$$\leq \frac{1}{q-d}$$

$$f_{\xi, \eta} (\xi(z) \neq \xi(y)) = 1 - f_{\xi, \eta} (\xi(z) = \xi(y))$$

$$q > 2d^2 > 2d \Rightarrow 1 - \frac{1}{q-d} \geq 1 - \frac{1}{2d-d}$$

$$d > 2 \Rightarrow 1 - \frac{1}{d} \geq 1 - \frac{1}{2} = \frac{1}{2}$$

Anotaciones

Lema 3: Sea $p \in [0, 1]$ y $n \in \mathbb{N}$.

Se lanzan n monedas i.i.d con probabilidad p de salir cara. Entonces el número de caras obtenidas H satisface

$$P(|H - np| \geq a) \leq \frac{n}{4a^2}$$

Anotaciones

$\{X_k\}_{k \geq 1}$ iid $\sim \text{Bernoulli}(p)$

$$H = \sum_{k=1}^n X_k \quad E[X] = p \quad E[X^2] = p \Rightarrow \text{Var}[X] = p - p^2 = p(1-p)$$

$$P(|H - np| \geq a) \leq \frac{1}{a^2} \text{Var}[H]$$

chebyshov \downarrow

$$= \frac{n}{a^2} \text{Var}[x] = n \frac{p(1-p)}{a^2} \leq \frac{n}{4a^2}$$

Anotaciones

Demonstración (del Teorema)

$$w_n^{(j)} = \frac{1}{n} \sum_{i=1}^n \mathbb{1}_{\{q\text{-coloración de } e_j\}}(x_i^{(j)})$$

en vista del Lema 1 basta probar que

$$\left(1 - \frac{\epsilon}{2l}\right) \frac{z_j}{z_{j-1}} \leq w_n^{(j)} \leq \left(1 + \frac{\epsilon}{2l}\right) \frac{z_j}{z_{j-1}}$$

para $j = 1, 2, \dots, l$ o equivalentemente

$$\left| w_n^{(j)} - \frac{z_j}{z_{j-1}} \right| \leq \frac{\epsilon}{2l} \frac{z_j}{z_{j-1}}$$

Anotaciones

Como $\frac{z_j}{z_{j-1}} = f_{G_{j-1}, g}(\xi(x_j) \neq \xi(y_j))$

el Lema 2 implica que $\frac{z_j}{z_{j-1}} \approx \lambda$

y por lo tanto basta probar

$$\left| w_n^{(j)} - \frac{z_j}{z_{j-1}} \right| \leq \frac{\epsilon}{4}$$

$$j = 1, 2, \dots, l.$$

Anotaciones

Tenemos que controlar 2 fuentes de error de approx

i) El "Gibbs Sampler"

$$X_n \xrightarrow[n \rightarrow \infty]{\text{list}} f_{\theta, f}$$

ii) $w_m^{(i)} = \frac{1}{m} \sum_{j=1}^m \mathbb{1}_{\{q - \text{Coloración de } G_i\}}(x_j^{(i)}) \xrightarrow[m \rightarrow \infty]{} \frac{x_i}{x_{i-1}}$

Anotaciones

$$\left| W_{\epsilon}^{(j)} - \int_{G_{j-1}, f} (\xi(x_i) \neq \xi(y_i)) \right|$$

$$\left| W_{\epsilon}^{(j)} - \mu^{(n)}(\xi(x_i) \neq \xi(y_i)) \right|$$

$$+ \left| \mu^{(n)}(\xi(x_i) \neq \xi(y_i)) - \int_{G_{j-1}, f} (\xi(x_i) \neq \xi(y_i)) \right|$$

$$\left| W_{\epsilon}^{(j)} - \mu^{(n)}(\xi(x_i) \neq \xi(y_i)) \right| + \text{d}_{TV}(\mu^n, \int_{G_{j-1}, f})$$

Anotaciones

$$d_{TV}(\mu^n, f_{G^{-1}, f}) \leq \frac{\epsilon}{8l}$$

Por el Teorema B.1 (notas anteriores)

$$n \geq K \left(\frac{\log(k) + \log\left(\frac{8l}{\epsilon}\right) - \log(d)}{\log\left(\frac{q}{2d^2}\right)} + 1 \right)$$

$$\Rightarrow d_{TV}(\mu^n, f_{G^{-1}, f}) \leq \frac{\epsilon}{8l}$$

Anotaciones

$$P\left(\left|w_t^{(j)} - \mu^{(n)}(\zeta(x_i) \neq \zeta(y_i))\right| > \frac{\epsilon}{8l}\right) \leq \frac{1}{3}$$

Por el Lem 3

$$P\left(\left|w_t^{(j)} - p\right| > \frac{\epsilon}{8l}\right) \leq \frac{t}{4 \left(\frac{\epsilon t}{8l}\right)^2} = \frac{16 l^2}{\epsilon^2 t}$$

donde

$$p = \mu^{(n)}(\zeta(x_i) \neq \zeta(y_i))$$

Luego

$$t > \frac{48l^3}{\epsilon^2} \Rightarrow P\left(\left|w_t^{(j)} - p\right| > \frac{\epsilon}{8l}\right) \leq \frac{1}{3l}$$

Anotaciones

Como $l \leq dk$

$$t \geq \frac{48d^3k^3}{\epsilon^2} \Rightarrow P(|W_x^{(j)} - p| > \frac{\epsilon k}{8d}) \leq \frac{1}{3d}$$

Anotaciones

Anotaciones

Let us summarize: The algorithm has \tilde{k} factors Y_j to compute. Each one is obtained using no more than $\frac{48d^3k^3}{\varepsilon^2}$ simulations, and, by (76), each simulation requires no more than $k \left(\frac{2 \log(k) + \log(\varepsilon^{-1}) + \log(8)}{\log\left(\frac{q}{2d^2}\right)} + 1 \right)$ steps of the Gibbs sampler. The total number of steps needed is therefore at most

$$dk \times \frac{48d^3k^3}{\varepsilon^2} \times k \left(\frac{2 \log(k) + \log(\varepsilon^{-1}) + \log(8)}{\log\left(\frac{q}{2d^2}\right)} + 1 \right)$$

which is of the order $Ck^5 \log(k)$ as $k \rightarrow \infty$ for some constant C that does not depend on k . This is less than Ck^6 , so the total number of iterations in the Gibbs sampler grows no faster than polynomially. Since, clearly, the running times of all other parts of the algorithm are asymptotically negligible compared to these Gibbs sampler iterations, Theorem 9.1 is established. \square

Resumen del Algoritmo FPRAS

Análisis de Complejidad

- El algoritmo tiene l (el número de aristas) etapas.
- En cada etapa, estimamos un ratio. Esto requiere un número de muestras polinomial en l y $1/\epsilon$.
- Cada muestra se genera con MCMC, lo que requiere un número de pasos polinomial en k (el número de vértices).

El resultado final es un algoritmo cuyo tiempo de ejecución total es **polinomial en k y $1/\epsilon$** , lo que cumple la definición de un FPRAS.

Resumen del Algoritmo FPRAS

El Gran Avance

Esta técnica (a menudo llamada “MCMC acoplado” o “path coupling”) fue un gran avance en la ciencia de la computación teórica. Permitió resolver, de manera aproximada, problemas de conteo que se consideraban intratables, conectando profundamente la teoría de Cadenas de Markov con la complejidad computacional.

Anotaciones